

# Cole-Karkkainen法を用いた 数値チエレンコフ不安定性の抑制

---

千葉大学 理学部物理学科  
宇宙物理学研究室 4年  
細谷 周平

# 本研究の背景

---

宇宙線発生のメカニズムはいまだ不明な点が多く、  
プラズマがどう加速されるかもその謎の一つ



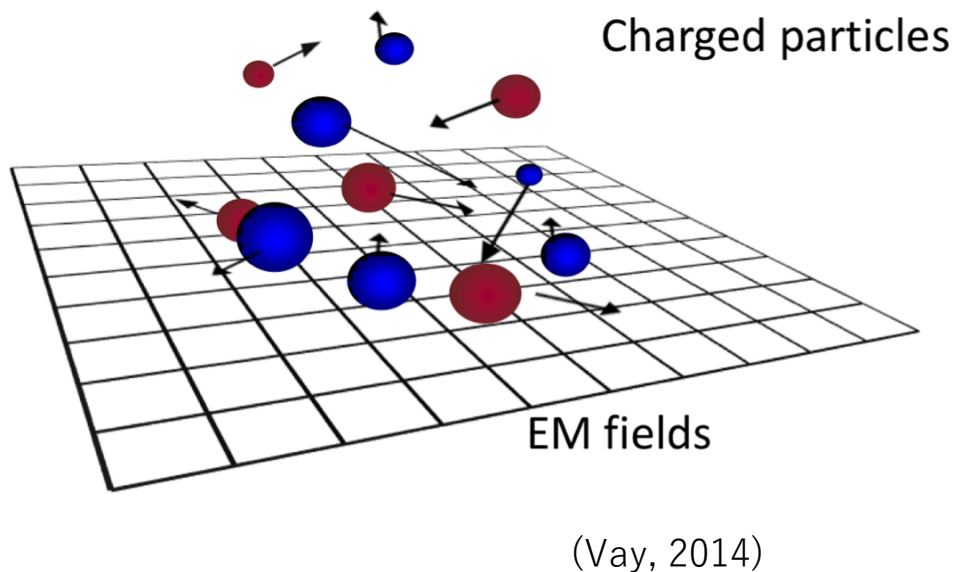
シミュレーション上で相対論的プラズマ（衝撃波）を扱う際には  
数値的な不安定性が成長し、計算が困難になることが知られていた



その不安定性を抑制することが重要な物理課題となっている

# PIC (Particle-In-Cell) シミュレーション

粒子が空間格子内を自由に運動  
電磁場は格子点上に存在



Maxwell 方程式 (cgs系)

$$\frac{\partial \vec{E}}{\partial t} = c\nabla \times \vec{B} - 4\pi \vec{J}$$

$$\frac{\partial \vec{B}}{\partial t} = -c\nabla \times \vec{E}$$

$$\nabla \cdot \vec{E} = 4\pi\rho$$

$$\nabla \cdot \vec{B} = 0$$

相対論的運動方程式

$$\frac{d\vec{u}}{dt} = \frac{q}{m} \left( \vec{E} + \frac{\vec{u}}{\gamma c} \times \vec{B} \right)$$

ローレンツ因子

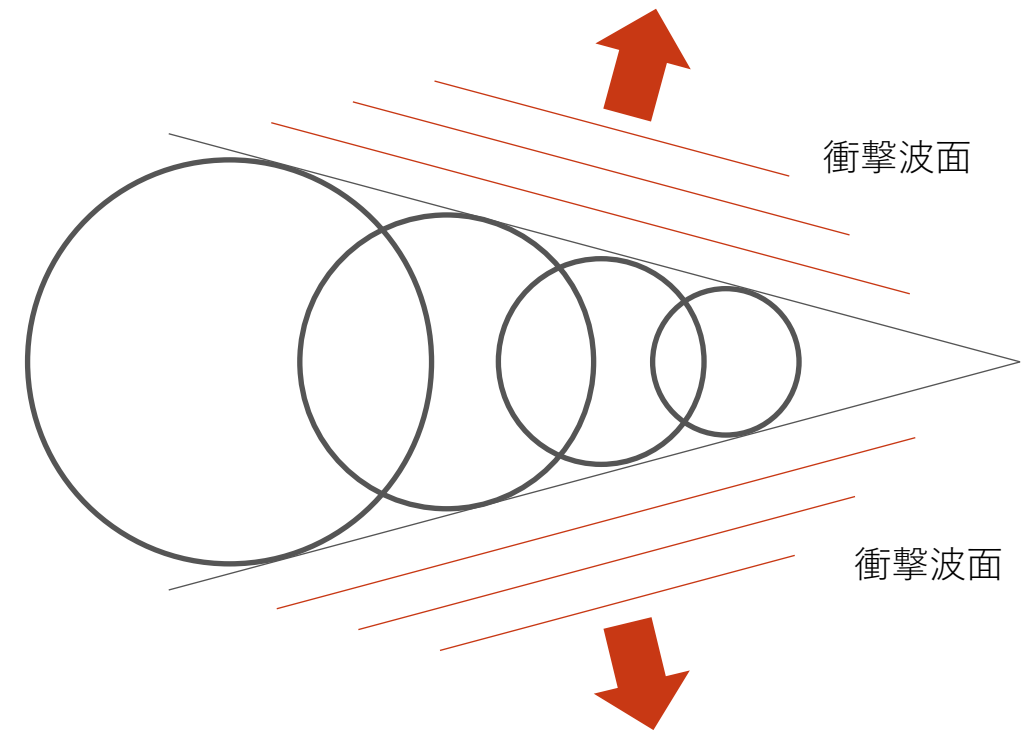
$$\gamma = \sqrt{1 + \frac{u^2}{c^2}}$$

# 相対論的プラズマにおける数値チェレンコフ不安定

Maxwell方程式を有限差分近似することで,  
波数が大きいほど位相速度が光速cより遅くなる  
→ プラズマの速度が電磁波の速度を超える



数値チェレンコフと呼ばれる  
数値的不安定性が発生



# 本研究の目的

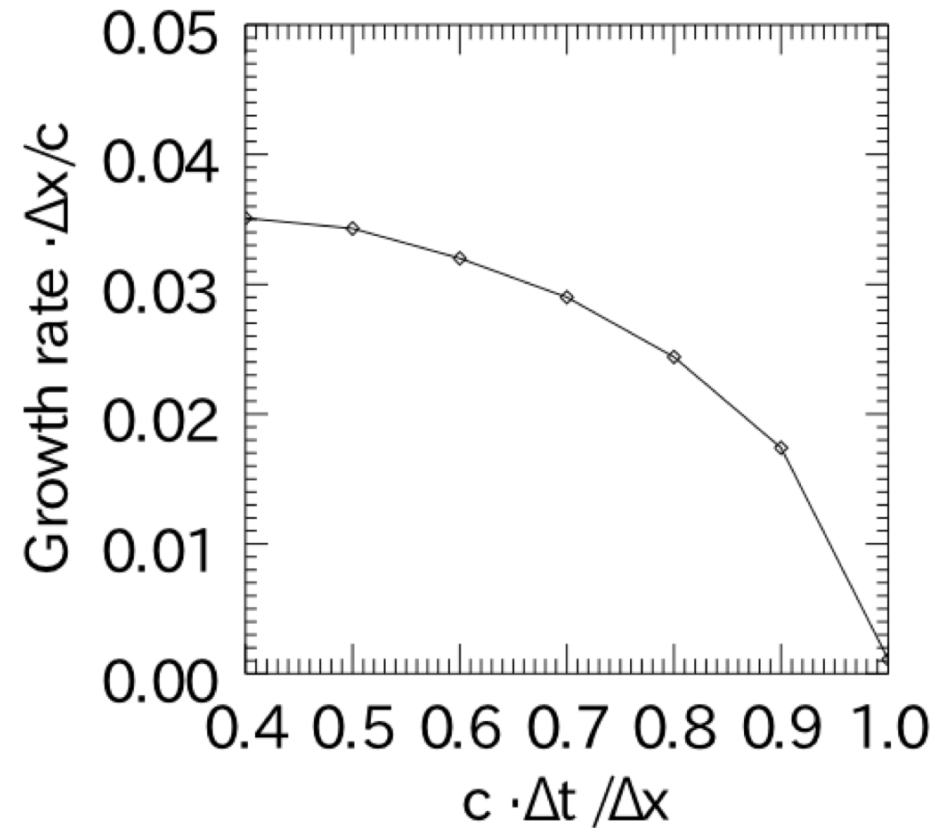
数値 Chernoff 不安定性の成長率を抑制することは、  
相対論的プラズマを扱う上で重要な課題。

ある条件において、不安定性の成長率が  
落ちることが近年になり報告された。

(Godfrey & Vay, 2013; Ikeya & Matsumoto, 2015)

しかし、準相対論的な場合では抑制が  
不十分であることが知られていた。

従来とは異なる  
Maxwell 方程式の数値解法により  
さらに成長率が抑えられるかを確認する。



(Ikeya & Matsumoto, 2015)

# pCANSを用いた相対論的プラズマシミュレーション

---

公開PICコード”pCANS”では、陰的 (implicit) な解法を用いている。

implicitにおける離散化の手法

$$\frac{B^{t+\Delta t} - B^t}{\Delta t} = -c \nabla \times E^{t+\theta \Delta t}$$

$$\frac{E^{t+\Delta t} - E^t}{\Delta t} = c \nabla \times B^{t+\theta \Delta t} - 4\pi J^{t+\theta \Delta t}$$

ここで  $f^{t+\theta \Delta t} = \theta f^{t+\Delta t} + (1 - \theta) f^t$  とする。

# CK (Cole-Karkkainen) 法

電場 $E$ に作用する演算子にのみ変化を加える

$$\frac{\partial \vec{B}}{\partial t} = -c \nabla \times \vec{E}$$

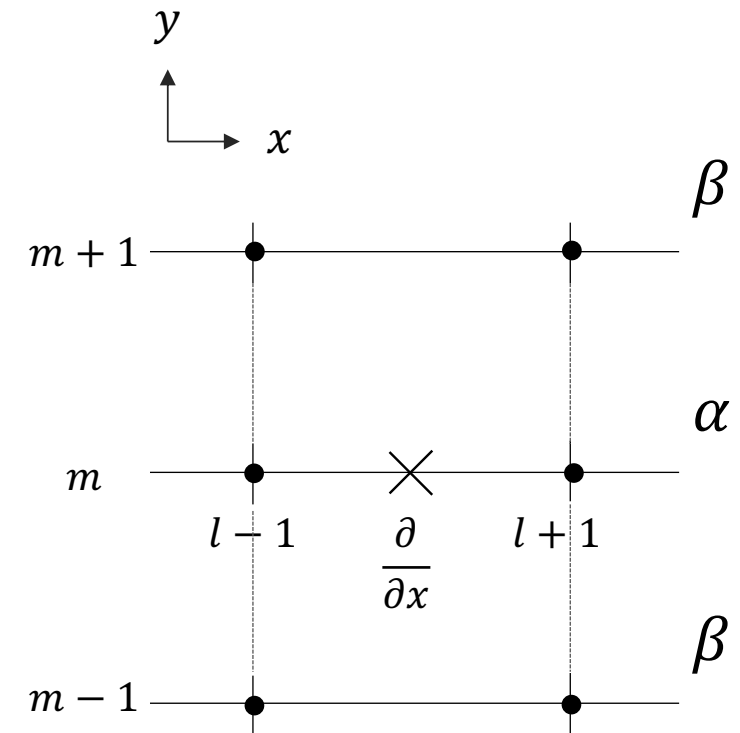


$$\frac{\partial \vec{B}}{\partial t} = -c \nabla^* \times \vec{E}$$

$$\nabla^* = (\alpha + \beta S_x^1) \nabla$$

$$S_x^1 G_x \Big|_{l,m} = G_x \Big|_{l,m+1} + G_x \Big|_{l,m-1}$$

$$\alpha + 2\beta = 1$$



1. 陰的CK法による光の分散関係の導出とその安定性の解析を行い,  
 $\alpha, \beta$ による光の伝搬特性を探る
2. PICシミュレーションコードに実装し, 数値チェレンコフ不安定の抑制特性を調べる

## 光の分散関係（2次元）と安定条件

## 分散関係

$$\tan\left(-\frac{\omega\Delta t}{2}\right) = \frac{\frac{1}{\sqrt{qS_x^2 + pS_y^2}} + 2i\left(\theta - \frac{1}{2}\right)}{4\left(\theta - \frac{1}{2}\right)^2 + \frac{1}{qS_x^2 + pS_y^2}}$$

$$S_x = \frac{c\Delta t}{\Delta x} \sin \frac{k_x \Delta x}{2} \quad p = \alpha + 2\beta \cos(k_x \Delta x)$$

$$S_y = \frac{c\Delta t}{\Delta y} \sin \frac{k_y \Delta y}{2} \quad q = \alpha + 2\beta \cos(k_y \Delta y)$$

## 安定条件

$\text{Im}(\omega\Delta t) < 0$  となる場合に安定となる

安定となるためには、ナイキスト波数の点で  
 $qS_x^2 + pS_y^2 > 0$  となれば良い

$\alpha + 2\beta = 1$  の条件とあわせると

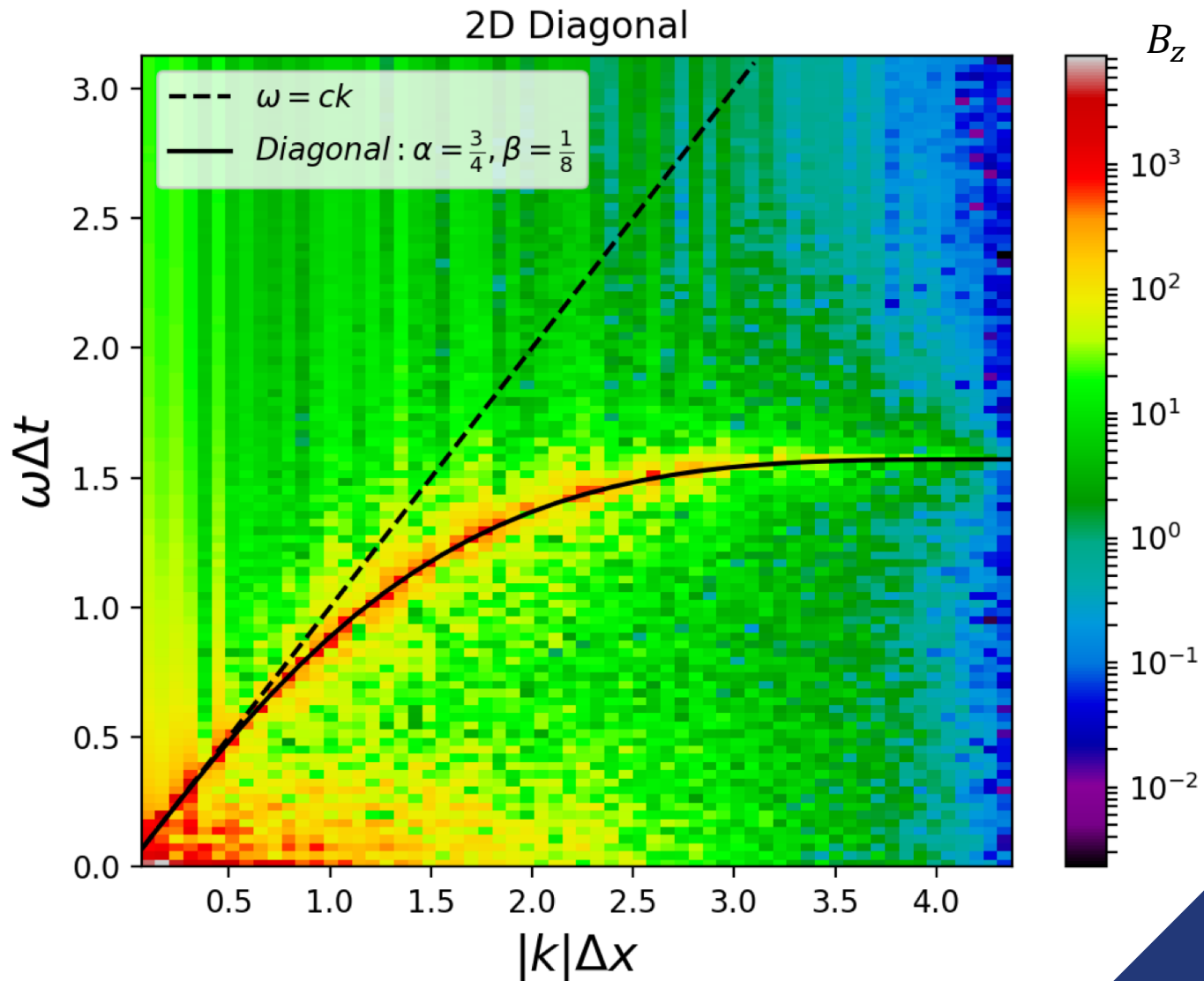
$$\alpha > \frac{1}{2}, \beta < \frac{1}{4}$$

となれば良いことがわかる

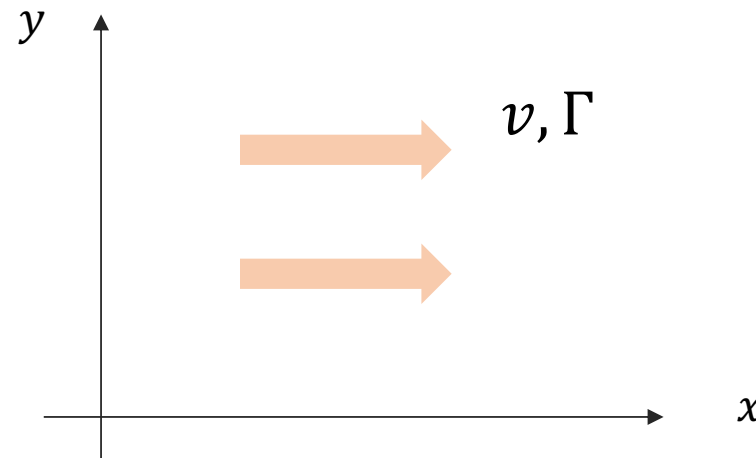
# CK法のpCANSへの実装

粒子熱ノイズによる  
波動励起のテスト

CK法をpCANSに実装し,  
理論式とシミュレーション結果で  
光の分散関係を比較した。

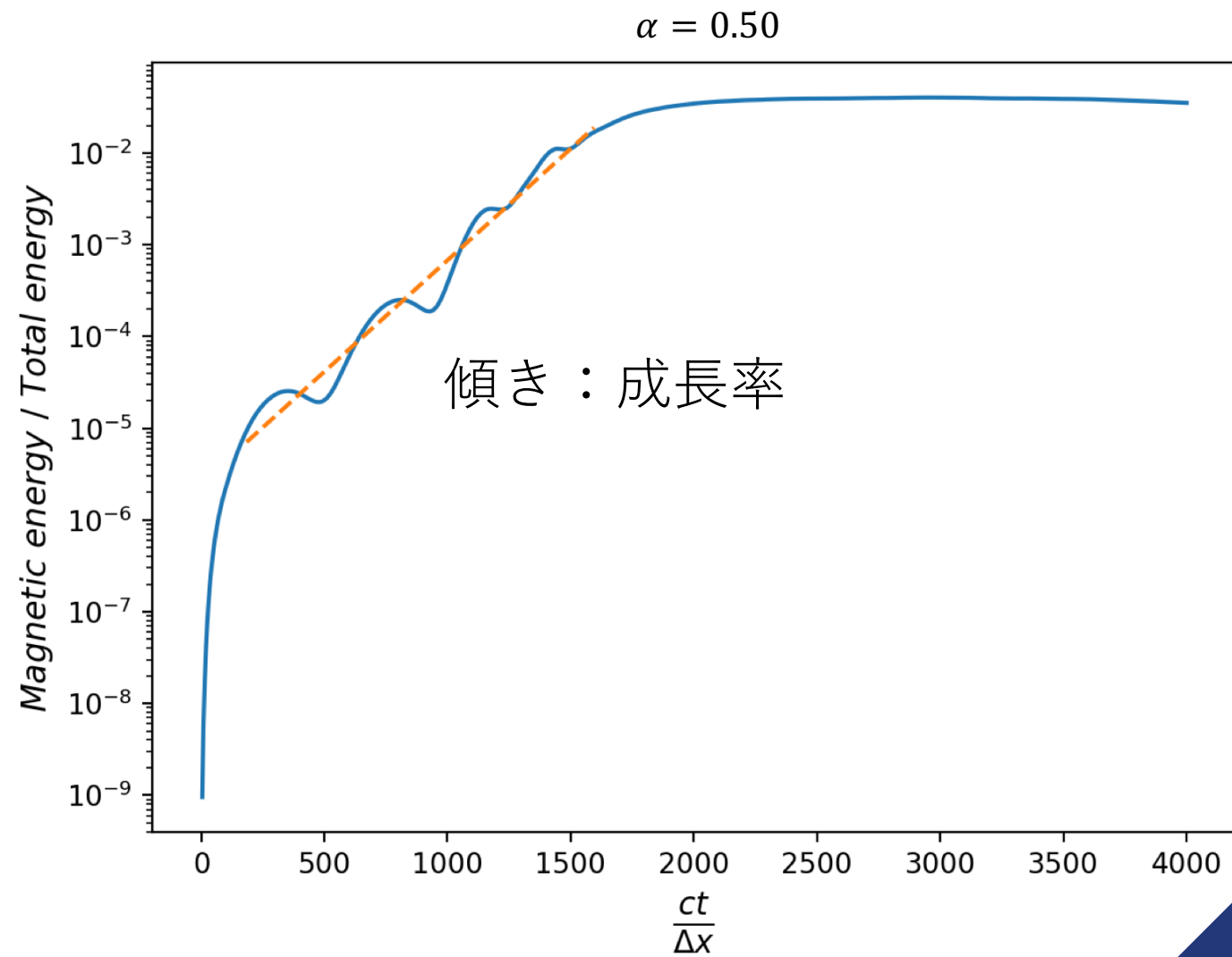


# 数値シェレンコフの数値実験と成長率の算出

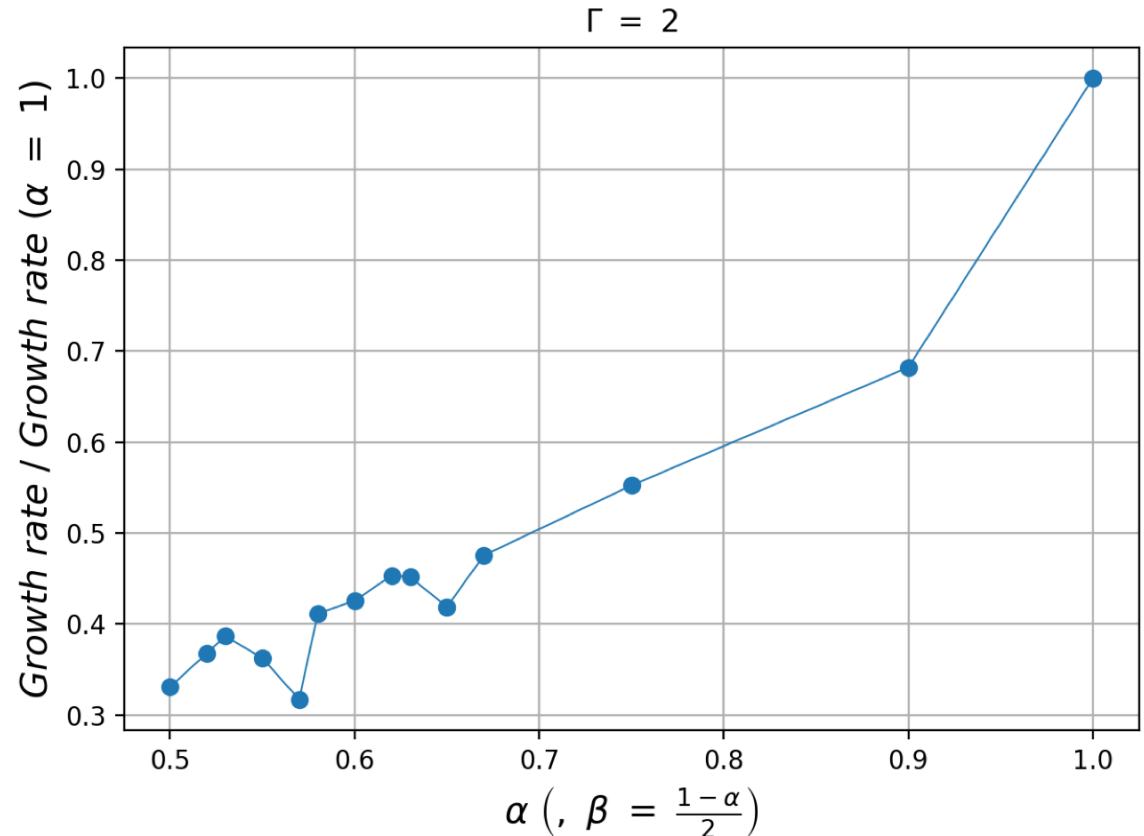
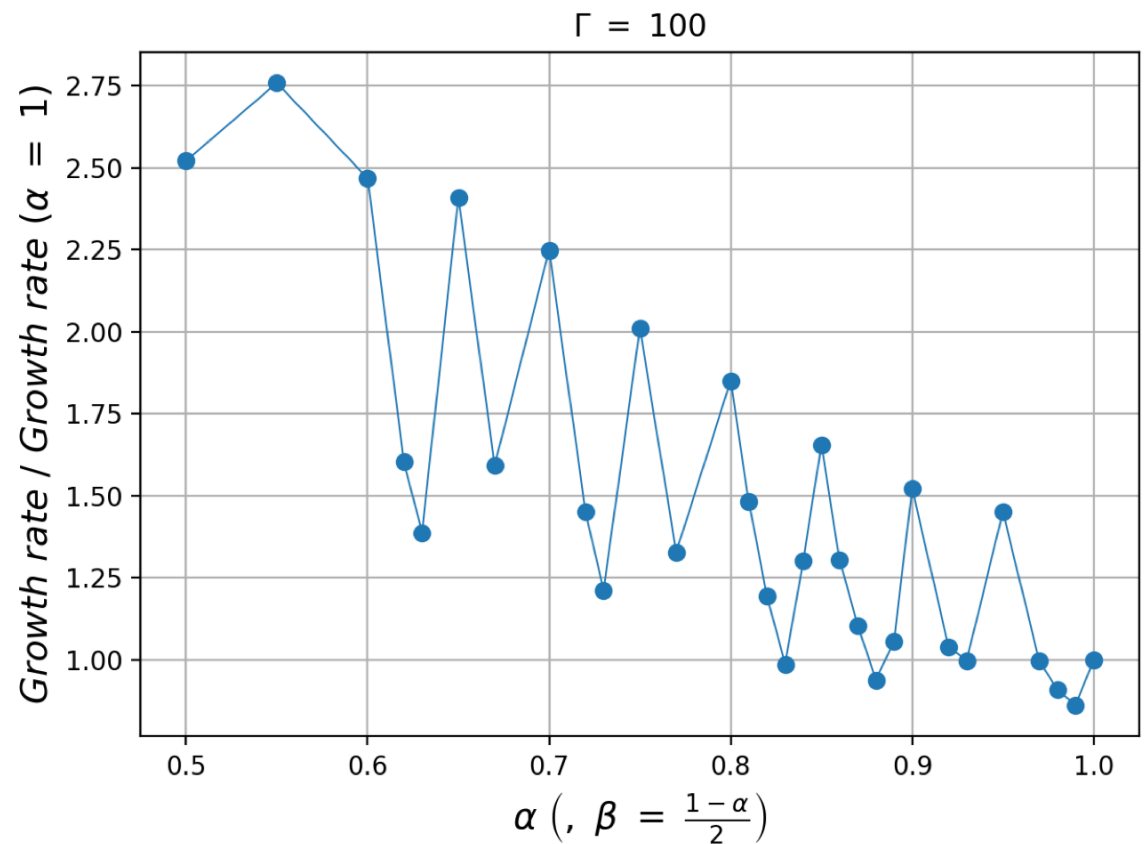


(周期的境界条件を用いた)

安定条件を満たすように  
 $\alpha, \beta$  を変化させ,  
成長率の抑制特性を調べた。



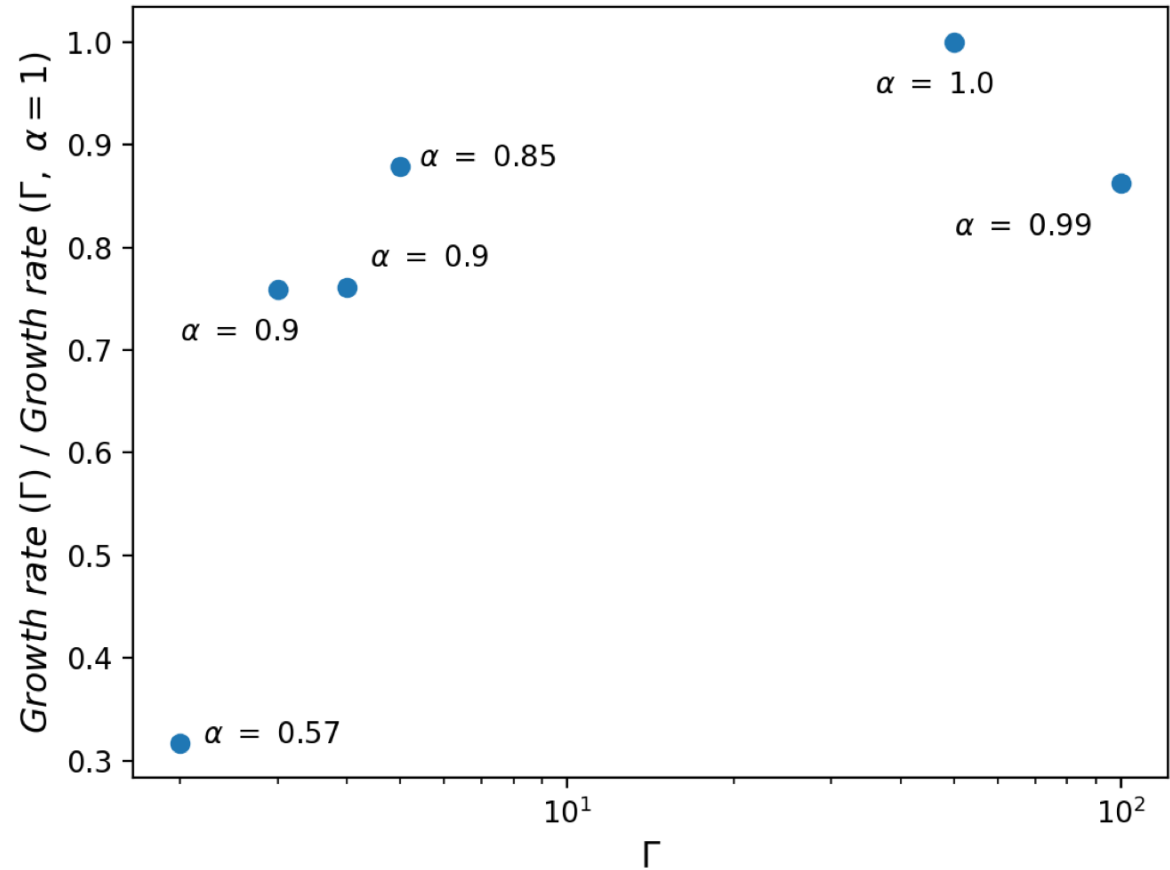
# 異なるローレンツファクターでの成長率の比較



超相対論では従来の方法、準相対論ではCK法が有効

# CK法を用いることで成長率は抑制できるか

- それぞれのローレンツファクター  $\Gamma$  に対して、最も成長率が抑えられた点をプロットした。
- $\Gamma = 2$  などの準相対論的なプラズマにおいては、適切な  $\alpha$  を選ぶことで成長率を抑制することができるわかった。



# まとめ





# 標準解法における Maxwell方程式の離散化（2次元）

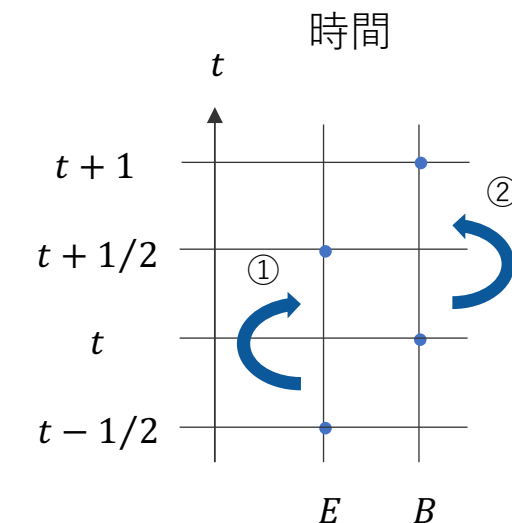
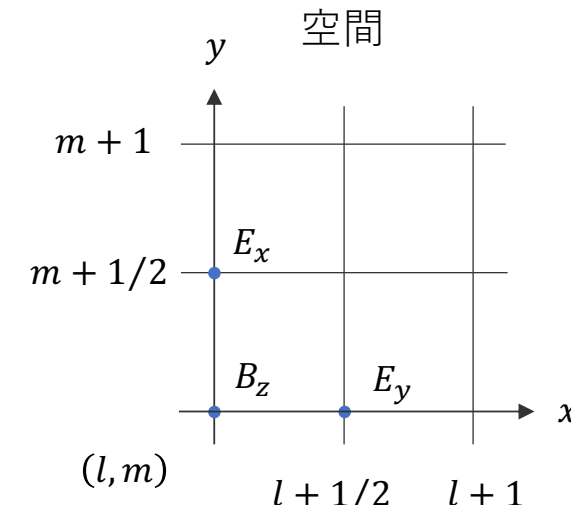
Maxwell方程式の標準的な解法 FDTD法  
(Finite-Difference Time-Domain method)

陽的 (explicit) な解法

$$\frac{E_{x(l,m+\frac{1}{2})}^{s+\frac{1}{2}} - E_{x(l,m+\frac{1}{2})}^{s-\frac{1}{2}}}{\Delta t} = c \frac{B_{z(l,m+1)}^s - B_{z(l,m)}^s}{\Delta y}$$

$$\frac{E_{y(l+\frac{1}{2},m)}^{s+\frac{1}{2}} - E_{y(l+\frac{1}{2},m)}^{s-\frac{1}{2}}}{\Delta t} = -c \frac{B_{z(l+1,m)}^s - B_{z(l,m)}^s}{\Delta x}$$

$$\frac{B_{z(l,m)}^{s+1} - B_{z(l,m)}^s}{\Delta t} = -c \left[ \frac{E_{y(l+\frac{1}{2},m)}^{s+\frac{1}{2}} - E_{y(l-\frac{1}{2},m)}^{s+\frac{1}{2}}}{\Delta x} - \frac{E_{x(l,m+\frac{1}{2})}^{s+\frac{1}{2}} - E_{x(l,m-\frac{1}{2})}^{s+\frac{1}{2}}}{\Delta y} \right]$$



光の分散関係

---

離散化したMaxwell方程式に

$$E_x = E_{x0} \exp[i(k_x l \Delta x + k_y m \Delta y - \omega s \Delta t)]$$

$$E_y = E_{y0} \exp[i(k_x l \Delta x + k_y m \Delta y - \omega s \Delta t)]$$

$$B_z = B_{z0} \exp[i(k_x l \Delta x + k_y m \Delta y - \omega s \Delta t)]$$

を代入することで次の分散関係が得られる

$$\omega \Delta t = 2 \arcsin \left[ \sqrt{\left( c \frac{\Delta t}{\Delta x} \sin \frac{k_x \Delta x}{2} \right)^2 + \left( c \frac{\Delta t}{\Delta y} \sin \frac{k_y \Delta y}{2} \right)^2} \right]$$

## 離散化と光の分散関係（2次元）

標準解法のexplicitと比較し、CK法では次の変更を行う

$$\frac{\partial B_z}{\partial t} = -c \left[ (\alpha + \beta S_x^1) \frac{\partial}{\partial x} E_y - (\alpha + \beta S_y^1) \frac{\partial}{\partial y} E_x \right]$$

$$\begin{aligned} \frac{B_{z(l,m)}^{s+1} - B_{z(l,m)}^s}{\Delta t} &= -c \left[ \alpha \frac{E_{y(l+1/2, m)}^{s+1/2} - E_{y(l-1/2, m)}^{s+1/2}}{\Delta x} + \beta \frac{E_{y(l+1/2, m+1)}^{s+1/2} - E_{y(l-1/2, m+1)}^{s+1/2} + E_{y(l+1/2, m-1)}^{s+1/2} - E_{y(l-1/2, m-1)}^{s+1/2}}{\Delta x} \right] \\ &\quad + c \left[ \alpha \frac{E_{x(l, m+1/2)}^{s+1/2} - E_{x(l, m-1/2)}^{s+1/2}}{\Delta y} + \beta \frac{E_{x(l+1, m+1/2)}^{s+1/2} - E_{x(l+1, m-1/2)}^{s+1/2} + E_{x(l-1, m+1/2)}^{s+1/2} - E_{x(l-1, m-1/2)}^{s+1/2}}{\Delta y} \right] \end{aligned}$$

標準解法と同様の手順で、次の分散関係が得られる。

$$\omega \Delta t = 2 \arcsin \left[ \sqrt{[\alpha + 2\beta \cos(k_y \Delta y)] \left( \frac{c \Delta t}{\Delta x} \sin \frac{k_x \Delta x}{2} \right)^2 + [\alpha + 2\beta \cos(k_x \Delta x)] \left( \frac{c \Delta t}{\Delta y} \sin \frac{k_y \Delta y}{2} \right)^2} \right]$$

# explicit におけるFDTD法とCK法の比較

Axis:  $k_y \Delta y = 0$

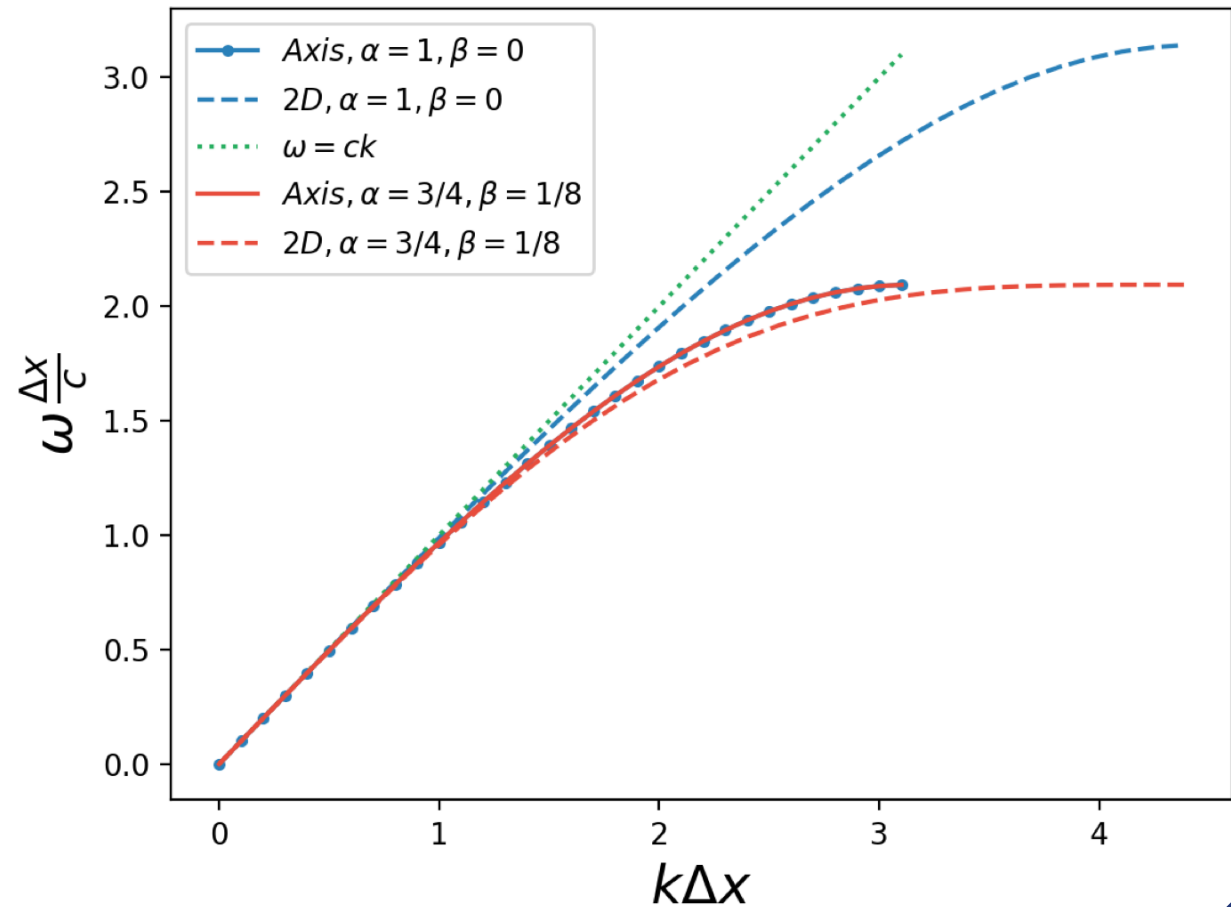
2D:  $k_y \Delta y = k_x \Delta x$

- ・軸方向ではFDTD法とCK法は一致
- ・対角線方向では  
CK法は波数が大きい領域で  
位相速度が減少する

パラメータ

$$c = 1.0, \Delta t = 0.5, \Delta x = 1.0$$

( $\alpha = 1, \beta = 0$  でFDTD法に一致)



# 電磁場の陰的解法

過去の情報から未来の情報を求める陽的解法 (explicit) に対して、過去・未来の情報を併せて求める手法が陰的解法 (implicit)。

## explicit

- ・過去の情報から未来の情報を求める。
- ・計算コストが小さい
- ・クーラン数を1より小さくする必要がある

## implicit

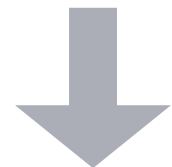
- ・未来の情報を含めて求める
- ・電場と磁場が同じ時間ステップ上に定義される
- ・逆行列を求める必要があり、計算コストが大きい
- ・CFLが光速cに縛られず安定に解ける

## 離散化の手法

$$\frac{B^{t+\Delta t} - B^t}{\Delta t} = -c \nabla \times E^{t+\theta \Delta t}$$

$$\frac{E^{t+\Delta t} - E^t}{\Delta t} = c \nabla \times B^{t+\theta \Delta t} - 4\pi J^{t+\theta \Delta t}$$

ここで  $f^{t+\theta \Delta t} = \theta f^{t+\Delta t} + (1 - \theta) f^t$  とする。



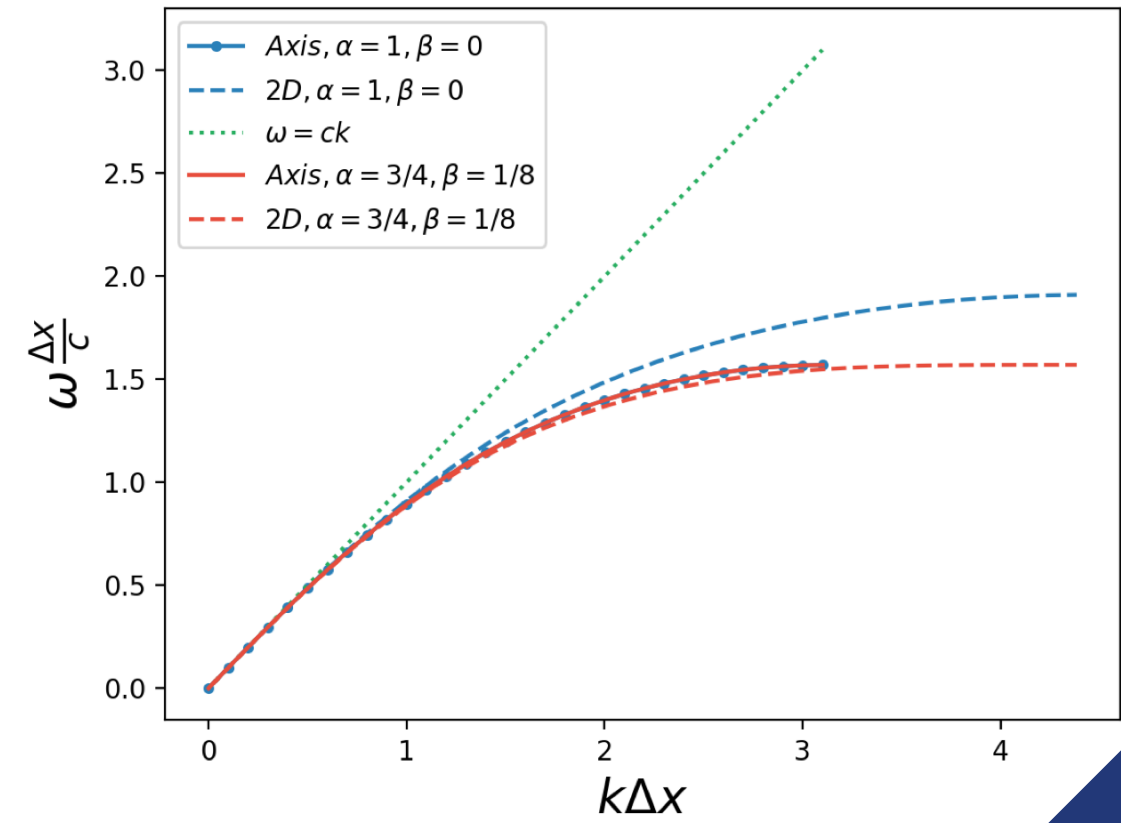
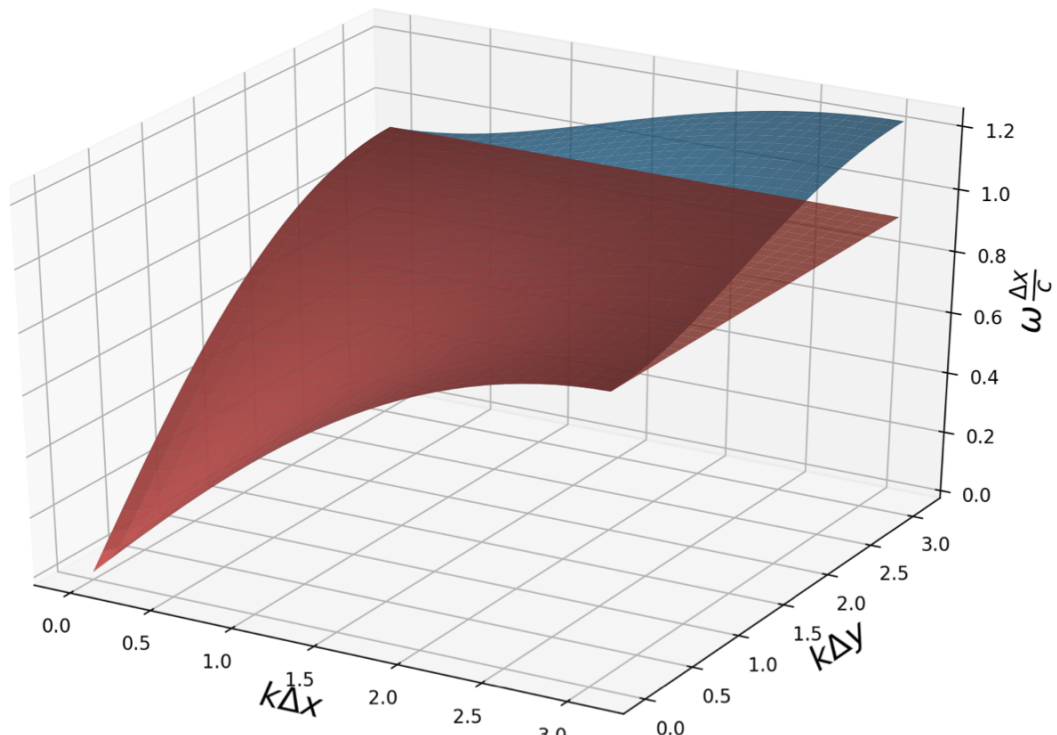
今回新たに陰的CK法の光の分散関係を導出

# 分散関係の比較 | implicit

パラメータ

$$c = 1.0, \Delta t = 1.0, \Delta x = 1.0$$

( $\alpha = 1, \beta = 0$  で FDTD 法に一致)



# implicit における減衰率 | CK法 / implicit

- ・軸方向ではFDTD法とCK法は一致
- ・対角線方向ではCK法において
  1. 減衰率が下がる
  2. 波数が大きい領域で  
減衰率が一様になる

パラメータ

$$\theta = 0.501, c = 1.0, \Delta t = 1.0, \Delta x = 1.0$$

